

SISTEMI DISSIPATIVI E
FUNZIONI POSITIVE REALI

La teoria dei sistemi dissipativi ha giocato e gioca tuttora un ruolo fondamentale nel campo dei controlli moderni. Questa disciplina infatti ha a che fare con molti problemi centrali quali:

- Teoria della stabilità (criterio di Routh-Hurwitz)
- Teoria delle reti elettriche
- Controllo ottimo
- Controllo di sistemi non lineari

Dato un sistema con ingresso u e uscite y , si può definire una funzione $W(u, y)$ che indica la potenza di alimentazione nel sistema dall'esterno. Si usa la convenzione

$$W(u, y) \geq 0 \quad \text{potenze entrate}$$

$$W(u, y) \leq 0 \quad \text{potenze uscite}$$

In questi appunti utilizzeremo la funzione potenza

$$W(u, y) = uy \quad (\text{prodotto})$$

Tale scelta è giustificata da esempi elettrici e meccanici.

Definizione

Consideriamo un sistema Σ in forma di stato

$$\begin{cases} \dot{x} = f(x, u) \\ y = h(x, u) \end{cases} \quad x \in \mathbb{R}^m \quad u \in \mathbb{R} \quad y \in \mathbb{R}$$

con ingresso $u(t)$, uscita $y(t)$ e stato $x(t)$.

Allora Σ è detto dissipativo se esiste una funzione (detta funzione energia del sistema)

$$S: \mathbb{R}^m \rightarrow \mathbb{R}_+$$

tale che per ogni ingresso $u(t)$ $t \in [0, T]$ che porta uno stato iniziale $x(0)$ genera una traiettoria $x(t)$ e $y(t)$ si ha che

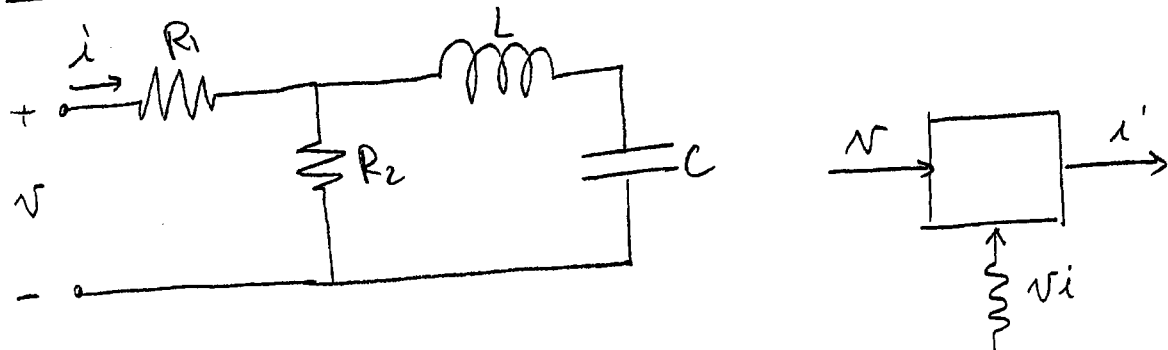
$$\int_0^T y(t) u(t) dt \geq S(x(T)) - S(x(0)) \quad (*)$$

Osservazione

La diseguaglianza (*) è detta diseguaglianza di dissipatività e indica che l'energia limita al massimo nell'intervallo $[0, T]$ dato da

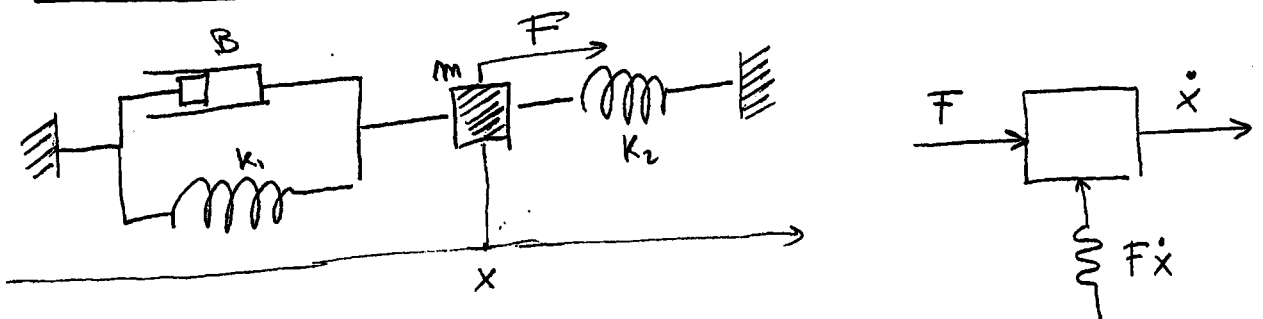
$$\int_0^T y(t) u(t) dt \quad \text{non può superare l'incremento dell'energia intorno al sistema.}$$

1. Sistemi elettrici: dipolo punto



In un dipolo elettrico lo potere di alimentazione è dato dal prodotto dello tensione V si corrente del dipolo e la corrente i entrante.

2. Sistemi meccanici



In un sistema meccanico dato dalla connessione di molle mose e ammortizzatori a cui mi applico una forza F a un punto X la quale provoca una velocità \dot{x} , lo potere di alimentazione è $F\dot{x}$.

Secondo questo interprétation il termine $y(t) u(t)$ indica la potenza (formale se positiva, reale se negativa del sistema), stantiamoci scambiati dal sistema con l'ambiente.

Tesimo

Un sistema lineare con funzione di trasferimento $W(s)$ è definitivo se e solo se
 $W(s)$ è Positive Reale (PR)

Definizione

Una funzione razionale $F(s)$ è PR se

- i) $F(s)$ ha poli in $\text{Re } s < 0$
- ii) $\text{Re } F(j\omega) \geq 0$ $\forall \omega$ tali che $j\omega$ non è polo di $F(s)$
- iii) I poli nulli che insieme con l'eventuale polo all'infinito se $F(s)$ non è propria sono semplici e con residuo reale e positivo

Osservazione: Nel caso in cui $F(s)$ non è propria la condizione iii) impone che

$$\lim_{s \rightarrow \infty} \frac{F(s)}{s} \geq 0$$

e quindi il numeratore di $F(s)$ ha grado al massimo di uno unità maggiore del grado del denominatore di $F(s)$

Teorema

Se $F(s) = \frac{b(s)}{a(s)}$ razionale con $a(s), b(s)$ coprimi.

$F(s) \in PR \Rightarrow$ i) $\operatorname{Re} F(j\omega) \geq 0 \quad \forall \omega$ tali che $j\omega$ non è polo di $F(s)$

ii) $a(s)+b(s)$ ha radici in $\operatorname{Re} s < 0$

Conseguenze

- 1) $F(s) \equiv 0 \in PR$
- 2) $F_1(s), F_2(s) \in PR \Rightarrow \alpha F_1(s) + \beta F_2(s) \in PR$ per ogni $\alpha, \beta \geq 0$
- 3) $W(s) \in PR \Rightarrow W(1/s) \in 1/W(s)$ sono PR
- 4) $W(s), H(s) \in PR \Rightarrow \frac{W(s)}{1+H(s)W(s)} \in PR$

DIM

$$W(s), H(s) \in PR \Rightarrow \frac{1}{W(s)} + H(s) \in PR \Rightarrow \frac{1}{1/W(s) + H(s)} = \frac{W(s)}{1+H(s)W(s)} \in PR$$

$$5) F(s) = \frac{b(s)}{a(s)} \in PR \Rightarrow \operatorname{grad}(a(s)) - \operatorname{grad}(b(s)) = \begin{cases} +1 \\ 0 \\ -1 \end{cases}$$

$$6) s, 1/s \text{ sono } PR$$

$$\text{Sta}, \frac{1}{s^{\alpha}} \text{ sono } PR \text{ se } \alpha \geq 0$$

$$1/s^2 \text{ e } -1/s \text{ non sono } PR$$

$$7) F(s) \text{ PR} \Rightarrow T = \frac{F(s)}{1+KF(s)} \in BIBO \text{ stabl.} \quad K > 0$$

Dann

$T(s) \in PR$ das ist $K > 0 \Rightarrow PR$.

Aus $T(s)$ ist Null in $\operatorname{Re} s \leq 0$. Seien
es nun existiere $j\omega_0$ Null von $T(s)$, also

$$1+K F(j\omega_0) = 0 \Rightarrow F(j\omega_0) = -\frac{1}{K}$$

$$\Rightarrow \operatorname{Re} F(j\omega_0) < 0 \quad \text{nun } \Rightarrow$$

Diagramma di Nyquist

le risultato precedente suggerisce un metodo di verifica della positività reale basato sul diagramma di Nyquist -

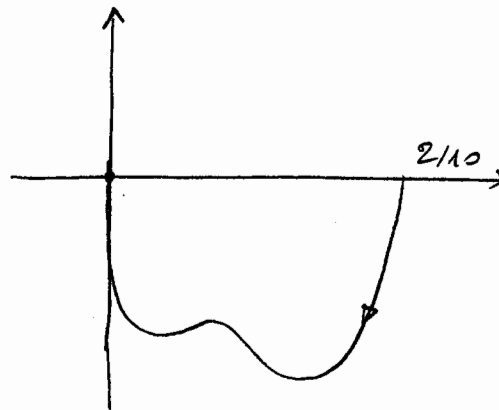
Supponiamo di avere una $F(s)$ con poli in $\text{Re } s < 0$ -

Allora in questo caso lo vertice di $F(s)$ è PR corrente nel verificare che vale lo II) -

le fatti che $\text{Re } F(j\omega) \geq 0$ $\forall \omega$ comprende ad avere il diagramma di Nyquist contenuto nel semipiano $\text{Re } s \geq 0$ -

Esempio

$$F(s) = \frac{s+2}{(s+1)(s+10)}$$



Se $F(s)$ ha dei poli nell'asse immaginario, allora l'ultimare condizione III) che richiede che tali poli siano semplici e con residuo reale positivo possono essere trasdotti nella condizione che anche lo chiuso dei semi-circosche tendano all'interno deve essere contenuta nel semipiano $\text{Re } s > 0$.

Inoltre se $j\omega_0$ è un polo di $F(s)$. Allora nell'intorno di $j\omega_0$ la $F(s)$ può essere approssimata

$$F(s) = \frac{A}{(s-j\omega_0)^v} \quad \begin{array}{l} v \text{ multiplicità} \\ A \text{ residuo} \end{array}$$

Se $s = j\omega_0 + \epsilon e^{j\varphi} \quad -\frac{\pi}{2} \leq \varphi \leq \frac{\pi}{2}$, allora

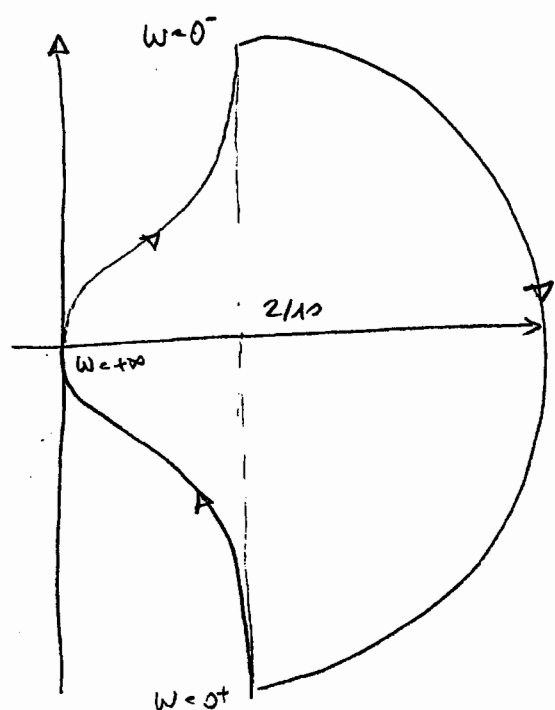
$$F(s) \approx \frac{A}{\epsilon^v} e^{-jv\varphi}$$

Si tratta di un cerchio di raggio $\frac{|A|}{\epsilon^v}$ percorsa con un angolo di $v\pi$. Si osservi che

$$\begin{array}{c} A \text{ reale} > 0 \\ v = 1 \end{array} \iff \operatorname{Re} F(s) \geq 0 \iff \begin{array}{l} \text{Chiusura del cerchio} \\ \text{Nyquist appartiene al semipiano } \operatorname{Re} s \geq 0 \end{array}$$

Esempio

$$\begin{aligned} F(s) &= \underbrace{\frac{1}{s}}_{\text{PR}} + \underbrace{\frac{s+2}{(s+1)(s+10)}}_{\text{PR}} \quad \bar{e} \text{ PR} \\ &= \frac{2s^2 + 13s + 10}{s(s+1)(s+10)} \end{aligned}$$

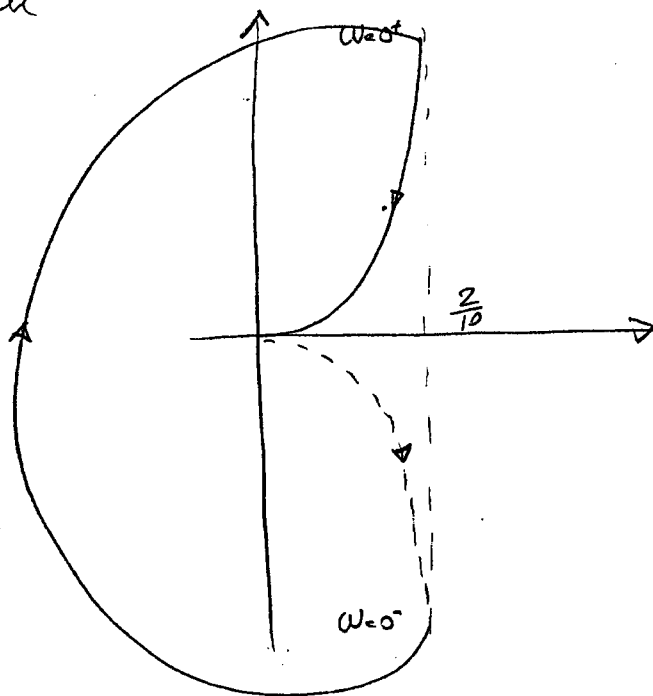


Esempio

$$F(s) = -\frac{1}{s} + \frac{s+2}{(s+1)(s+10)} = \frac{-9s-10}{s(s+1)(s+10)}$$

Non c'è positive reale perché

il solo nell'origine ha
residuo -1.



Esempi

$$F(s) = \frac{2s^2 + 13s + 1}{s(s+1)(s+10)}$$

abbiamo già verificato che è PR

Utilizziamo ora il teorema precedente

i) $\operatorname{Re} F(j\omega) \geq 0$ considerando ora ovvero il diag. Nyquist
è destro dell'asse immaginario, cosa già verificata

ii) $a(s) + b(s) = s^3 + 11s^2 + 10s + 2s^2 + 13s + 10 = s^3 + 13s^2 + 23s + 10$

Tavolo di Routh

1	23
---	----

13	10
----	----

$\frac{289}{13}$

10

$a(s) + b(s)$ è di Hurwitz $\Rightarrow F(s)$ è PR

$$F(s) = \frac{-9s - 10}{s(s+1)(s+10)}$$

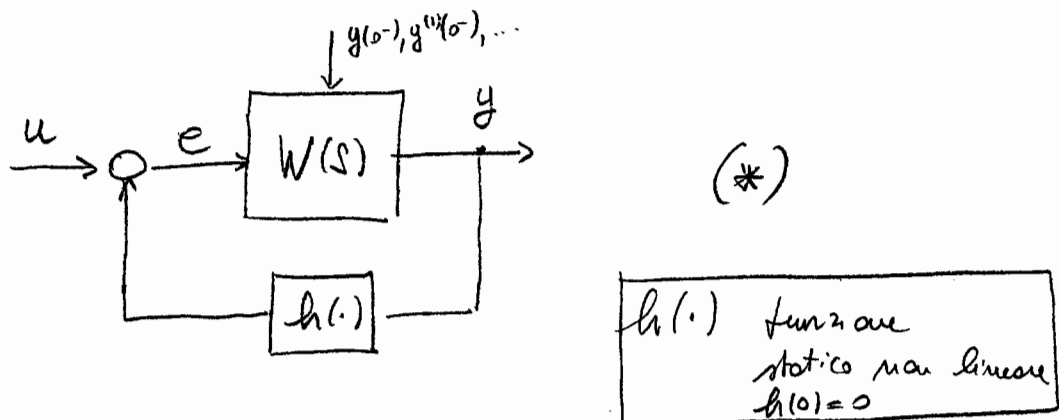
i) è verificata attraverso il diag. di Nyquist

ii) $a(s) + b(s) = s^3 + 11s^2 + 10s - 9s - 10 = s^3 + 11s^2 + s - 10$
non è di Hurwitz -

Quindi $F(s)$ non è PR

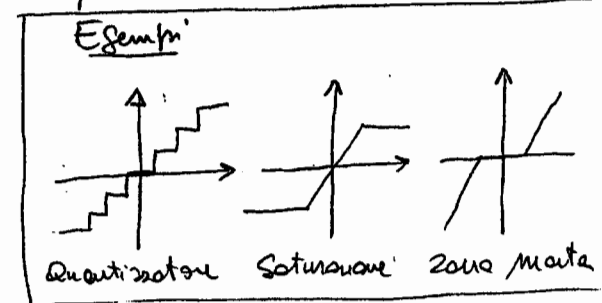
CRITERIO DEL CERCHIO

Si consideri il sistema



Vogliamo studiare la stabilità di tale sistema rispetto alle condizioni iniziali presenti nel sistema con funzione di trasferimento $W(s)$. Si tratta quindi di trovare la soluzione dell'equazione differenziale

$$\begin{cases} \sum a_k y^{(k)} = \sum b_k e^{(k)} \\ e = u - h(y) \end{cases}$$



$$\sum a_k y^{(k)} = \sum b_k u^{(k)} - \sum b_k (h(y))^{(k)}$$

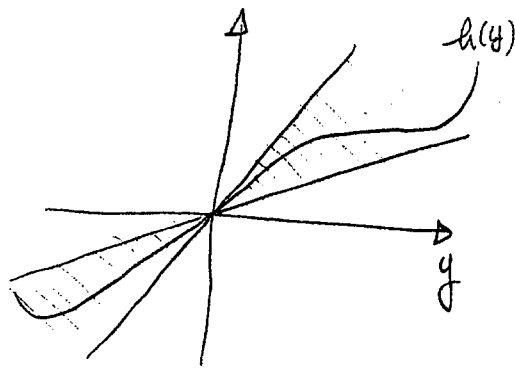
con $u=0$ e condizioni iniziali $y(0^-), y'(0^-), \dots$

$$\sum a_k y^{(k)} + \sum b_k (h(y))^{(k)} = 0 \quad (**)$$

Si vuole determinare sotto quali condizioni su $W(s)$ e $h(\cdot)$ avvenga che per ogni condizione iniziale $y(0^-), y'(0^-), \dots$ la soluzione $y(t)$ converga a zero per $t \rightarrow \infty$.

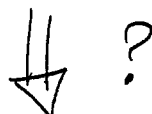
Congettura di Aizerman (1949)

Supponiamo che



Il sistema (*) è asintoticamente stabile rispetto alle condizioni iniziali se -

$$h(y) = Ky \quad \forall K \text{ tali che } k_1 \leq K \leq k_2$$



(*) è asintoticamente stabile rispetto alle condizioni iniziali per ogni $h(\cdot)$ tale che

$$k_1 < \frac{h(y)}{y} < k_2 \quad \text{e} \quad h(0) = 0$$

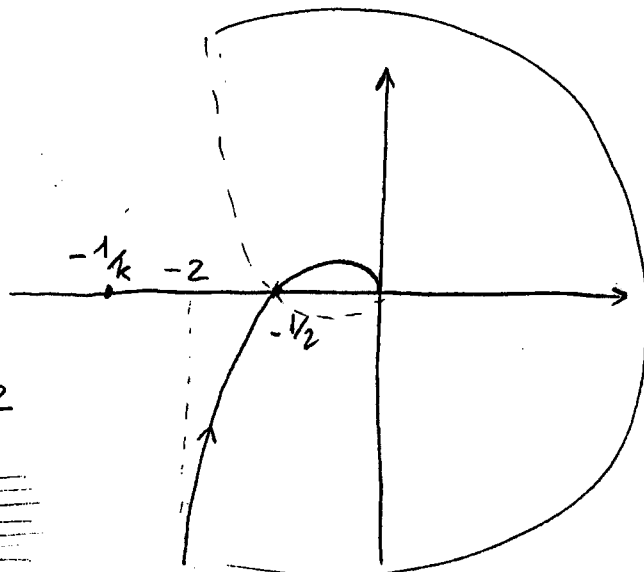
Questa congettura fu dimostrata essere falsa.

Esempio

$$W(s) = \frac{1}{s(s+1)^2}$$

Per il criterio di Nyquist
il sistema (*) è as. stabile
per $\forall K$ tali che $0 < K < 2$

Se volesse volerla la
cong. di Aizerman (*)
sarebbe as. stabile per
ogni $h(\cdot)$ compresa
nella settore in figura



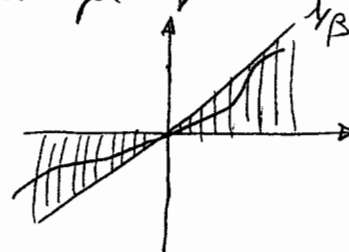
Tecniche

Se $W(s) + \beta$ è tale che

$$W(s) + \beta \in PR$$

per un certo $\beta > 0$, allora il sistema (*) è asintoticamente stabile rispetto alle condizioni iniziali per ogni $h(\cdot)$ tale che

$$\begin{cases} h(0) = 0 \\ 0 < \frac{h(t)}{t} < \frac{1}{\beta}, \forall t \end{cases}$$



Osservazione

Vent'ore che $W(s) + \beta$ è PR considera e vent'ore che $W(s)$ ha poli in $\text{Re } s < 0$ e inoltre che il diagramma di Nyquist sta a sinistra dello retta $\text{Re } s = -\beta$.

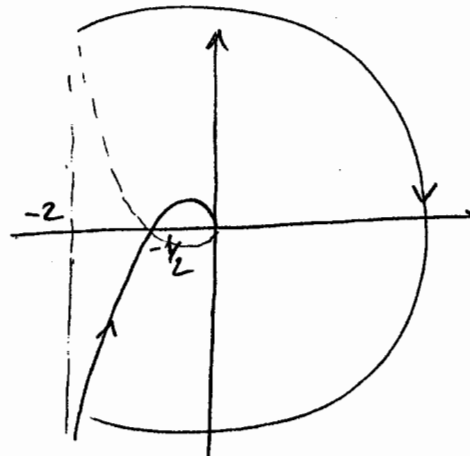
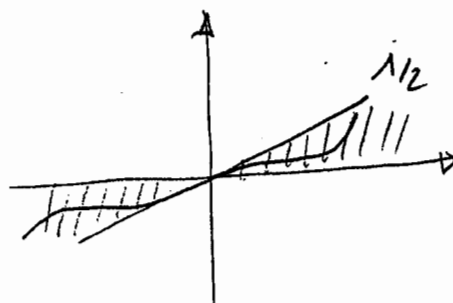
Esempio

$$W(s) = \frac{1}{s(s+1)^2}$$

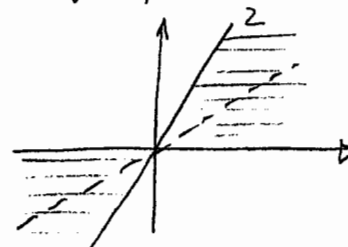
In questo caso si può prendere

$$\beta = 2$$

Anzi $h(y)$ può essere compresa in



Si noti che se ci limitiamo a $h(y)$ lineare, allora per il criterio di Nyquist $h(y)$ può essere compresa in



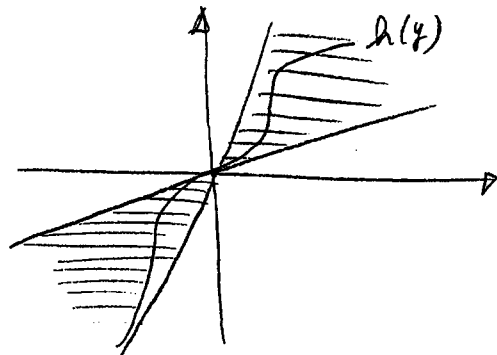
Teorema

Se $W(s)$ è tale che

$$F(s) \triangleq \frac{1+k_2 W(s)}{1+k_1 W(s)} \text{ è PR}$$

per $0 < k_1 < k_2$, allora il sistema (*) è asintoticamente stabile rispetto alle condizioni iniziali per ogni $h(t)$ tali che

$$\begin{cases} h(0) = 0 \\ k_1 < \frac{h(y)}{y} < k_2 \quad y \neq 0 \end{cases}$$

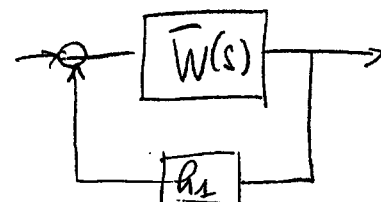
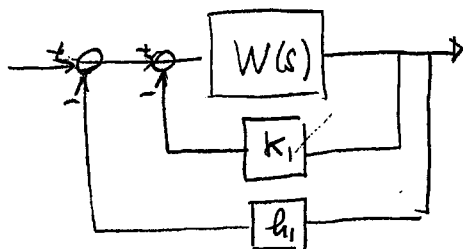


Dimo

$$\text{Definiamo } h_1(y) \triangleq h(y) - k_1 y$$

$$\text{Allora } h_1(0) = 0, \quad 0 < \frac{h_1(y)}{y} < k_2 - k_1 \quad \forall y \neq 0 \quad e \quad h(y) = k_1 y + h_1(y)$$

Quindi il sistema (*) può essere riscritto come



$$\bar{W}(s) = \frac{W(s)}{1+k_1 W(s)}$$

Il sistema è as. stabile

$$\bar{W}(s) + \frac{1}{k_2 - k_1} \text{ è PR}$$

$$\frac{W(s)}{1+k_1 W(s)} + \frac{1}{k_2 - k_1} = \frac{k_2 W(s) - k_1 W(s) + 1 + k_1 W(s)}{(k_2 - k_1)(1 + k_1 W(s))} = \frac{1}{k_2 - k_1} \frac{1 + k_2 W(s)}{1 + k_1 W(s)}$$

ch è PR

Ventico del Centro del Cercus
attraverso il diagramma di Nyquist

$$\text{Poniamo } X_1 = \operatorname{Re} W(j\omega)$$

$$X_2 = \operatorname{Im} W(j\omega)$$

$$\begin{aligned}\operatorname{Re} F(j\omega) &= \frac{1+k_2 W(j\omega)}{1+k_1 W(j\omega)} = \operatorname{Re} \frac{1+k_2(X_1+jX_2)}{1+k_1(X_1+jX_2)} = \\ &= \operatorname{Re} \frac{[(1+k_2 X_1)+j k_2 X_2][(1+k_1 X_1)-j k_1 X_2]}{(1+k_1 X_1)^2 + k_1^2 X_2^2} \\ &= \frac{(1+k_2 X_1)(1+k_1 X_1) + k_1 k_2 X_2^2}{(1+k_1 X_1)^2 + k_1^2 X_2^2} \geq 0\end{aligned}$$

$$(1+k_2 X_1)(1+k_1 X_1) + k_1 k_2 X_2^2 \geq 0$$

$$X_1^2 + X_2^2 + \frac{k_1 + k_2}{k_1 k_2} X_1 + \frac{1}{k_1 k_2} \geq 0$$

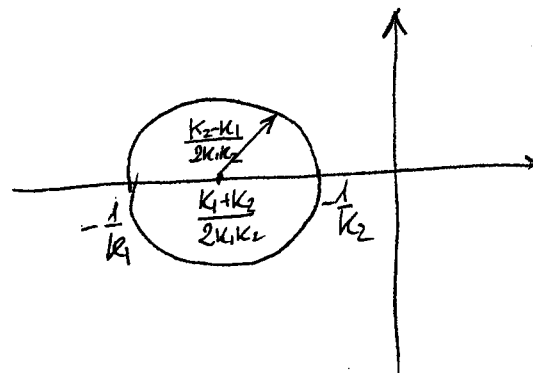
$$\left(X_1 + \frac{k_1 + k_2}{k_1 k_2}\right)^2 + X_2^2 \geq \left(\frac{k_1 + k_2}{2 k_1 k_2}\right)^2 - \frac{1}{k_1 k_2} = \left(\frac{k_1 - k_2}{2 k_1 k_2}\right)^2$$

Questa condizione equivale a richiedere che il punto $(X_1, X_2) = (\operatorname{Re} W(j\omega), \operatorname{Im} W(j\omega))$ stia fuori del cerchio di centro $\left(-\frac{k_1 + k_2}{k_1 k_2}, 0\right)$ e raggio $\frac{k_1 - k_2}{2 k_1 k_2}$

e ciò coincide ad avere il diagramma di Nyquist di $W(s)$ che sta fuori da tale cerchio.

Si noti che tale cerchio passa per i punti $-\frac{1}{k_1}$ e $-\frac{1}{k_2}$ dell'asse reale.

reale.



Abbiamo venticot. che

$\Re F(j\omega) \geq 0$ $\forall j\omega$ che non sono pole di $F(s)$ \iff le sospensioni di Nyquist di $W(s)$ non fanno attraverso il cerchio che forse per i punti $-\frac{1}{K_2}, -\frac{1}{K_1}, -$

Per dimostrare che $F(s)$ è PR è sufficiente mostrare che $\boxed{P(s) \triangleq [\text{numeratore di } F(s)] + [\text{denominatore } F(s)]}$ è Hurwitz

Sia $W(s) = \frac{b(s)}{a(s)}$ con $b(s), a(s)$ coprimi. Allora

$$F(s) = \frac{a(s) + K_2 b(s)}{a(s) + K_1 b(s)}$$

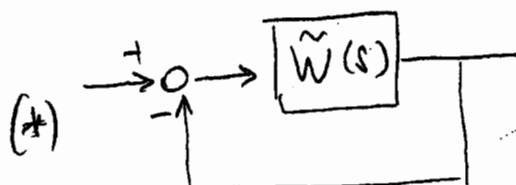
Si osservi che numeratore e denominatore di $F(s)$ sono coprimi intatti se le s. zero comune, allora avrei

$$\begin{cases} a(s_0) + K_2 b(s_0) = 0 \\ a(s_0) + K_1 b(s_0) = 0 \end{cases} \Rightarrow (K_2 - K_1)b(s_0) = 0 \Rightarrow b(s_0) = 0 \Rightarrow a(s_0) = 0 \text{ e } a(s), b(s) \text{ non sarebbero coprimi!}$$

Si osservi che

$$P(z) = 2a(s) + (K_1 + K_2)b(s)$$

e si osservi inoltre che tale polinomio è denominatore del sistema in retroazione unitaria



dove $\tilde{W}(s) = \frac{K_1 + K_2}{2} W(s)$

Inoltre

$$\tilde{T}(s) = \frac{\tilde{W}(s)}{1 + \tilde{W}(s)} = \frac{(K_1 + K_2)W(s)}{2 + (K_1 + K_2)W(s)}$$

$$= \frac{(K_1 + K_2)W(s)}{2a(s) + (K_1 + K_2)b(s)}$$

Possiamo concludere che

$$P(s) = 2a(s) + (K_1 + K_2)b(s) \quad \text{è Hurwitz}$$



Le sistemi (*) è BIBS stabile



$$Z = P - N$$

Per il criterio di Nyquist, il diagramma di Nyquist di $W(s)$ fa $N = P$ giri antiorario
ottorno al punto critico $-\frac{2}{K_1 + K_2}$, dove P
è il n° di poli instabili di $W(s)$

Si metti che il punto critico $-\frac{2}{K_1 + K_2}$ è
contenuto nel cerchio unitario per $-\frac{1}{K_2} e -\frac{1}{K_1}$.
Possiamo quindi concludere che

Il diagramma di Nyquist di $W(s)$
 $F(s) \in PR \iff$ non ottoranza il cerchio unitario per i
punti $-\frac{1}{K_2} e -\frac{1}{K_1}$ e insieme tale
diagramma fa $N = P$ giri antiorario
ottorno a tale cerchio, dove P è il
n° di poli instabili di $W(s)$.

Osservazioni

- 1) Se $K_1 = 0$, allora il cerchio critico si espanderà in un semicircolo (cerchio di raggio ∞) passante per il punto $-\frac{1}{K_2}$. Questo caso corrisponde al primo teorema considerato in queste pagine dedicate al criterio del cerchio.
- 2) Se $K_1 = K_2 = K$ allora il cerchio si espanderà in un punto e l'unica $h(y)$ che soddisfa l'ipotesi del teorema è $h(y) = Ky$ lineare e lo vertice proiettato coincide esattamente col criterio di Nyquist. È quindi possibile interpretare il criterio del cerchio come una generalizzazione dell'ipotesi di Nyquist nel quale il punto critico $-\frac{1}{K}$ si espanderà a un cerchio. Questo fatto dà una interpretazione precisa dell'ipotesi seconda la quale la distanza del punto critico $-\frac{1}{K}$ dal diagramma di Nyquist dà una misura di robustezza rispetto a perturbazioni non lineari.